

4. Fisher E. R., Kummller R. H. Relaxation by vibration-vibration exchange. Pt II. Binary mixtures // J. Chem. Phys.— 1968.— V. 49, N 4.
5. Ликальтер А. А. Колебательная релаксация в сильно возбужденных молекулярных смесях // ТВТ.— 1979.— Т. 17, № 5.
6. Жданок С. А., Солоухин Р. И., Хижняк С. М. Аналитическая теория СО-ГДЛ и ее приложение к анализу газодинамических способов получения инверсии на окиси углерода.— Минск, 1985.— (Препр./АН БССР, ИТМО; № 7).
7. Гордиец Б. Ф., Мамедов Ш. С., Шелепин Л. А. Колебательная кинетика ангармонических осцилляторов в существенно неравновесных условиях // ЖТФ.— 1974.— Т. 67, вып. 4.
8. Гордиец Б. Ф., Мамедов Ш. С. О разделении изотопов в химических реакциях колебательно-возбужденных молекул // Квант. электроника.— 1975.— Т. 2, № 9.
9. Джурабеков У. С., Осипов А. И., Паниченко В. Я. Кинетика многоквантового колебательного обмена в молекулярных газах и ее проявление в процессе кинетического охлаждения // Химическая физика процессов горения и взрыва. Кинетика химических реакций: Матер. VIII Всесоюз. симпоз. по горению и взрыву, Ташкент, 1986.— Черноголовка, 1986.
10. Скребков О. В. Диффузионное описание колебательной релаксации в бинарной смеси двухатомных молекул — квантовых осцилляторов // ПМТФ.— 1987.— № 6.
11. Сафарян М. Н., Скребков О. В. Сравнение результатов классического диффузионного и квантового расчетов колебательно-поступательной релаксации двухатомных молекул // ПМТФ.— 1978.— № 4.
12. Волохов В. М., Скребков О. В. О классическом диффузионном и квантовом расчетах колебательной релаксации в бинарной смеси двухатомных молекул — ангармонических осцилляторов // Хим. физика.— 1984.— Т. 3, № 2.
13. Волохов В. М., Сафарян М. Н., Скребков О. В. Диффузионное описание колебательной релаксации ангармонических осцилляторов. Двухкомпонентная система // ТЭХ.— 1978.— Т. 14, № 4.
14. Скребков О. В., Смирнов А. Л. Влияние вращения на процесс энергообмена двухатомной молекулы — ангармонического осциллятора с атомом.— Черноголовка, 1988.— (Препр./АН СССР, Отд-ние Ин-та химической физики).
15. Волохов В. М., Скребков О. В. Учет неколлинеарности столкновения и дальнодействующего притяжения в диффузионной теории колебательной релаксации // Хим. физика.— 1983.— № 11.
16. Скребков О. В., Вакина З. Г., Васильев В. М. Колебательная релаксация в бинарной смеси двухатомных молекул. Квантовая (дискретная) диффузионная модель // Химическая физика процессов горения и взрыва. Кинетика химических реакций: Матер. VIII Всесоюз. симпоз. по горению и взрыву, Ташкент, 1986.— Черноголовка, 1986.
17. Волохов В. М., Скребков О. В. Колебательная релаксация двухатомных молекул — ангармонических осцилляторов в больцмановском термостате. Двухкомпонентная система // ПМТФ.— 1982.— № 5.
18. Востряков В. А., Кирмусов И. П., Старик А. М. Численное моделирование влияния формы сверхзвукового сопла на спектр генерации и энергетические характеристики НСЛ-ГДЛ // Школа-семинар «Фундаментальные проблемы физики ударных волн», Азау, 1987: Тез. Всесоюз. семинара.— Черноголовка, 1987.— Т. 1, ч. II.

г. Владивосток

Поступила 10/VII 1990 г.,  
в окончательном варианте — 13/IX 1990 г.

УДК 533.697.5

B. A. Маланичев

## СИСТЕМА ГАЗОВЫХ ЭЖЕКТОРОВ И ДИФФЕРЕНЦИАЛЬНЫЙ ЭЖЕКТОР

**1. Введение.** Проведено теоретическое исследование эффективности использования системы газовых эжекторов с цилиндрическими камерами смешения и предельного случая такой системы — дифференциального эжектора. Рассмотрено смешение газов с равными температурами торможения и одинаковыми физическими характеристиками. Впервые процесс смешения газов в дифференциальном эжекторе исследовался в [1], где при решении системы уравнений допущена некорректность, которая привела к потере одного условия оптимальности каждой ступени дифференциального эжектора.

В настоящей работе эта некорректность исправлена, приведено решение задачи о дифференциальном эжекторе.

Переход от одноступенчатого эжектора с цилиндрической камерой смешения к системе последовательно расположенных эжекторов с цилиндрическими камерами смешения (рис. 1) может улучшить характеристики одноступенчатого эжектора. Улуч-

шение возможно по двум причинам. Во-первых, дифференциация процесса смешения может затянуть возникновение критического режима [1—3], что приводит к более эффективной работе эжектора. Во-вторых, при дифференциации увеличивается количество варьируемых параметров эжекторной установки, что может обеспечить более эффективный процесс смешения. В настоящей работе исследуется влияние только последнего фактора, т. е. полагается, что критический режим не препятствует реализации оптимального процесса смешения в каждом из эжекторов системы. Такой подход корректен, поскольку влияние возникновения критического режима практически устраняется специальной конструкцией эжектора [1].

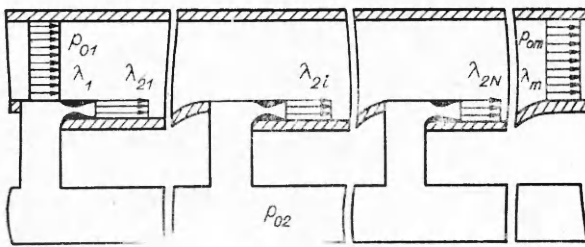


Рис. 1

**2. Условия оптимальности одноступенчатого эжектора.** Рассмотрим процесс смешения в эжекторе с цилиндрической камерой смешения двух газов с одинаковыми физическими характеристиками  $c_p$ ,  $\kappa$  и температурами торможения  $T_0$ . Полные давления и расходы газов  $p_{01}$ ,  $G_1$  и  $p_{02}$ ,  $G_2$ , причем  $p_{01} < p_{02}$ . В камере смешения эжектора происходит полное перемешивание газов, потери отсутствуют. В этом случае из законов сохранения расходов, импульсов, энергий смешиваемых газов и из цилиндричности камеры смешения следует [4]

$$(2.1) \quad p_{0m} = \frac{1}{q(\lambda_m) \left( \frac{\gamma_1}{p_{01}q(\lambda_1)} + \frac{\gamma_2}{p_{02}q(\lambda_2)} \right)},$$

$$(2.2) \quad z(\lambda_m) = \gamma_1 z(\lambda_1) + \gamma_2 z(\lambda_2),$$

где  $z(\lambda) = \lambda + 1/\lambda$ ;  $q(\lambda) = \lambda \left( 1 - \frac{\kappa-1}{\kappa+1} \lambda^2 \right)^{1/(\kappa-1)}$ ;  $\gamma_1 = G_1/(G_1 + G_2)$ ;  $\gamma_2 = G_2/(G_1 + G_2)$ ;  $p_{0m}$  — полное давление смеси газов. Из уравнения (2.2) вытекает, что при заданных значениях приведенных скоростей  $\lambda_1$  и  $\lambda_2$  существуют два значения приведенной скорости смеси газов  $\lambda_m$ . Одно из них соответствует дозвуковой скорости смеси газов ( $\lambda_m = \lambda_{ml} < 1$ ), другое — сверхзвуковой скорости смеси газов ( $\lambda_m = \lambda_{mr} > 1$ ). Известно, что при  $\lambda_m = \lambda_{ml}$  в эжекторе при оптимальном режиме работы выполняется условие [1]

(2.3)  $\lambda_1 = 1, p_{02}\pi(\lambda_2) = p_{0m}\pi(\lambda_m)$   
 $\left( \pi(\lambda) = \left( 1 - \frac{\kappa-1}{\kappa+1} \lambda^2 \right)^{\kappa/(\kappa-1)} \right)$ . Значение  $p_{0ml}$ , отвечающее этому условию, и  $\lambda_m$  определяются из системы уравнений (2.1), (2.2). При  $\lambda_m = \lambda_{mr}$  оптимальному режиму работы эжектора соответствует условие

$$(2.4) \quad \lambda_1 = \lambda_*, \quad \lambda_2 = \lambda_*$$

$(\lambda_* = \sqrt{(\kappa+1)/(\kappa-1)})$ . При этом

$$(2.5) \quad p_{0m} = \frac{1}{\left( \frac{\gamma_1}{p_{01}^{(\kappa-1)/\kappa}} + \frac{\gamma_2}{p_{02}^{(\kappa-1)/\kappa}} \right)^{\kappa/(\kappa-1)}}.$$

Физически дозвуковому значению  $\lambda_{ml}$  отвечает работа эжектора с идеальным дозвуковым диффузором, а сверхзвуковому значению  $\lambda_{mr}$  — работа эжектора с идеальным регулируемым сверхзвуковым диффузором. Под идеальностью имеется в виду способность диффузора восстанавливать полное давление потока без потерь.

**3. Оптимальная система эжекторов.** В системе эжекторов смесь газов из предыдущей ступени является одним из двух рабочих газов в последующей ступени. Из уравнения (2.1) вытекает

$$dp_{0m}/dp_{01} > 0, \quad dp_{0m}/dp_{02} > 0.$$

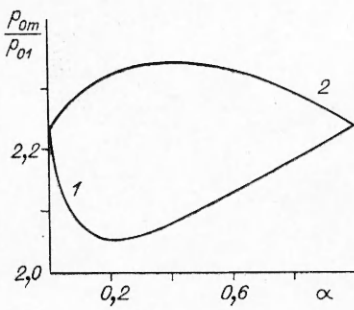


Рис. 2

Поэтому в оптимальной системе эжекторов каждый эжектор должен работать на оптимальном режиме.

Рассмотрим работу системы двух эжекторов с дозвуковым потоком смеси газов в конце камеры смешения каждого эжектора. Пусть низконапорный газ  $G_1$  подается в систему двумя частями:  $G_{11} = \alpha G_1$  в первый эжектор и  $G_{12} = (1 - \alpha)G_1$  во второй. Типичная зависимость полного давления смеси газов для системы эжекторов в этом случае  $p_{0m}(\alpha)/p_{01}$  приведена на рис. 2 (линия 1). Расчет проводился при

$p_{02}/p_{01} = 50$ ,  $\gamma_1/\gamma_2 = 1$ ,  $\kappa = 1.4$ . Из результатов расчетов следует, что разделение массы низконапорного газа уменьшает полное давление смеси по сравнению с одноступенчатым эжектором. Пусть в систему двумя частями подается высоконапорный газ  $G_2$ :  $G_{21} = \alpha G_2$  в первый эжектор и  $G_{22} = (1 - \alpha)G_2$  во второй. Типичная зависимость  $p_{0m}(\alpha)/p_{01}$  для этого случая приведена на рис. 2 (линия 2). Из результатов расчетов видно, что разделение массы высоконапорного газа увеличивает полное давление смеси. Можно показать, что при смешении двух газов с одинаковыми физическими характеристиками и равными температурами торможения только разделение подвода высоконапорного газа независимо от отношений  $p_{02}/p_{01}$  и  $\gamma_1/\gamma_2$  приводит к росту полного давления смеси газов. Ввиду своей громоздкости это доказательство здесь опущено. Заменив один из двух эжекторов также двумя эжекторами, получим дальнейшее увеличение полного давления смеси в системе эжекторов.

Таким образом, возникает задача об оптимизации системы из произвольного числа эжекторов. Она сводится к определению оптимального способа разделения высоконапорного газа по эжекторам системы. В системе из  $N$  эжекторов эта задача решается численно методом градиентного спуска в пространстве  $(N - 1)$ -го коэффициента удельного расхода газа

$\alpha_k = G_2 k / G_2$ ,  $k = 1, \dots, N$ , где  $\sum_1^N \alpha_k = 1$ . При сверхзвуковой скорости смеси газов переход от оптимального одноступенчатого эжектора к системе эжекторов не изменяет полное давление смеси, так как в каждом эжекторе смешение газов происходит со скоростями  $\lambda_*$ . Это можно показать, используя выражение (2.5).

**4. Дифференциальный эжектор.** Предельным случаем системы  $N$  эжекторов является дифференциальный эжектор. При этом количество высоконапорного газа, подводимого в каждой ступени, стремится к нулю, а количество ступеней увеличивается до бесконечности, так что суммарное количество высоконапорного газа, поступившего в эжектор, — конечная величина. Тогда в каждом элементарном эжекторе

$$\gamma_1 = 1, \quad \gamma_2 = dG_2 / \left( G_1 + \int_0^G dG_2 \right).$$

При переходе к дифференциальному эжектору условие (2.3) принимает вид

$$(4.1) \quad \lambda_1 = 1, \quad p_{02}\pi(\lambda_2) = p_{01}\pi(\lambda_1),$$

т. е. в каждой ступени статическое давление высоконапорного газа равно статическому давлению низконапорного газа, движущемуся со скоростью звука. Система уравнений (2.1) и (2.2) при работе эжектора на оптимальном режиме (4.1) преобразуется к виду

$$(4.2) \quad \frac{\pi'(\lambda_2)}{\pi(\lambda_2)} d\lambda_2 + \frac{q''(1)}{2q(1)} (d\lambda_m)^2 + \frac{dG_2}{G_1 + \int_0^G dG_2} \frac{q(1)\pi(\lambda_2)}{q(\lambda_2)} + O(dG^2) = 0;$$

$$(4.3) \quad \frac{z''(1)}{2} (d\lambda_m)^2 = (z(\lambda_2) - 2) \frac{\frac{dG_2}{G}}{G_1 + \int_0^G dG_2} + O(dG^2).$$

Введем понятие удельного расхода высоконапорного газа  $n = \int_0^G dG_2/G_1$ .

Тогда из системы (4.2), (4.3) следует основное уравнение дифференциального эжектора

$$(4.4) \quad \pi'(\lambda_2)d\lambda_2/[\pi(\lambda_2)\kappa(\lambda_2 - 1)] = dn/(1 + n).$$

В дальнейшем приведенная скорость высоконапорного газа  $\lambda_2$ , полное давление смеси  $p_{0m}$ , площадь камеры смешения  $F_m$  рассматриваются как функции удельного расхода  $n$ :  $p_{0m}(n)$ ,  $\lambda_2(n)$ ,  $F_m(n)$ . Уравнение (4.4) решается методом разделения переменных. В результате интегрирования получим

$$(4.5) \quad (\lambda_* + \lambda_2)^{1/[(\kappa-1)(\lambda_*+1)]} (\lambda_* - \lambda_2)^{1/[(\kappa-1)(\lambda_*-1)]} (\lambda_2 - 1) = \frac{C_1}{1+n}.$$

Постоянная  $C_1$  определяется при  $n = 0$  значением  $\lambda_2(0)$ , которое, согласно уравнению (4.1), имеет вид  $\lambda_2(0) = \pi^{-1}(\pi(1)p_{01}/p_{02})$ . Функция

$$\varphi(\lambda) = (\lambda_* + \lambda)^{1/[(\kappa-1)(\lambda_*+1)]} (\lambda_* - \lambda)^{-1/[(\kappa-1)(\lambda_*-1)]} (\lambda - 1)$$

является монотонно возрастающей функцией своего аргумента и увеличивается от нуля до бесконечности при росте  $\lambda$  от единицы до максимального значения  $\lambda_*$ . Следовательно, каждому значению функции  $\varphi(\lambda)$  соответствует единственное значение аргумента  $\lambda$ . Тогда для определения  $p_{0m}$  в дифференциальном эжекторе при заданных  $p_{02}$ ,  $p_{01}$  и  $n_0 = G_2/G_1$  из (4.5) вычисляется значение  $\lambda_2(n_0)$  и подставляется в (4.1), т. е.

$$(4.6) \quad p_{0m} = p_{02}\pi(\lambda_2(n_0))/\pi(1).$$

Из вида уравнений (4.5) и (4.6), а также из свойств функции  $\varphi(\lambda)$  и  $\pi(\lambda)$  следует, что с увеличением удельного расхода высоконапорного газа  $n_0$  полное давление смеси растет.

Определим закон изменения площади камеры смешения в дифференциальном эжекторе. В каждом элементарном эжекторе приращение площади  $dF_m$  состоит из двух:  $dF_m = dF_m^+ + dF_m^-$ . Первое равно площади сопла высоконапорного газа:  $dF_m^+ = \pi(\lambda_2) F_m dn/[\pi(1)q(\lambda_2)(1+n)]$ . Второе равно сужению камеры смешения после полного перемешивания газов, необходимому для разгона смеси газов перед входом в следующий эжектор до скорости звука:

$$dF_m^- = F_m \frac{q''(1) dn}{q(1) z''(1) (1+n)} (z(\lambda_2) - 2).$$

Тогда

$$(4.7) \quad \frac{dF_m}{F_m} = \frac{dn}{1+n} (1 - \kappa(\lambda_2 - 1)).$$

Из (4.7) видно, что при  $\lambda_2 > (\kappa + 1)/\kappa$  площадь камеры смешения оптимального дифференциального эжектора уменьшается, а при меньших значениях  $\lambda_2$  увеличивается. Как следует из (4.1) и (4.5),  $\lambda_2(0)$  определяется отношением давлений  $p_{02}/p_{01}$  и удельным расходом  $n$ . При  $p_{02}/p_{01} > \pi(1) \left[ \pi \left( \frac{\kappa + 1}{\kappa} \right) \right]$  с ростом  $n$  камера смешения сначала сужается, а потом расширяется. В результате решения уравнения (4.7) находим

$$F_m = \frac{C_2 (\lambda_* - \lambda_2)^{1/[(\kappa-1)(\lambda_*-1)]}}{\pi(\lambda_2) (\lambda_* + \lambda_2)^{1/[(\kappa-1)(\lambda_*+1)]} (\lambda_2 - 1)}.$$

Здесь постоянная  $C_2$  определяется при  $n = 0$  значениями  $\lambda_2(0)$  и  $F_m(0)$ .

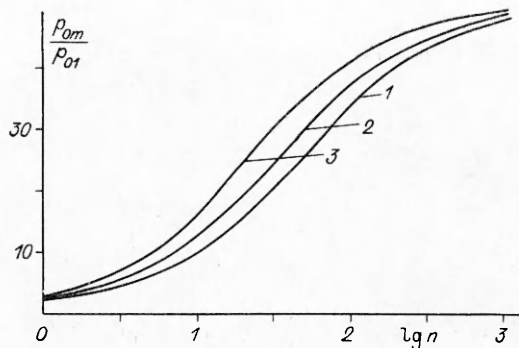


Рис. 3

произвольного расхода высоконапорного газа в одной ступени. При переходе к дифференциальному подаче высоконапорного газа условия оптимальности могут приобрести более простой вид, что и было при получении условия (4.1). Но качественное изменение условия оптимальности не может иметь места, как это получено в [1], так как условие  $\lambda_1 = 1$  для оптимальной ступени дифференциального эжектора в той работе отсутствует. Следовательно, в [1] при предельном переходе допущена некорректность. Далее показывается, в чем она состояла.

Прежде всего заметим, что вместо уравнения (2.2), которое в обозначениях [1] имеет вид

$$(1 + n + \delta n)z(\lambda_m) = (1 + n)z(\lambda_1) + \delta nz(\lambda_2),$$

где  $\delta n$  — количество высоконапорного газа, поступающего в элементарную ступень, в [1] фактически использовалось уравнение  $\delta[(1 + n)z(\lambda_1)] = \delta nz(\lambda_2)$ . Тем самым были исключены такие решения, когда сверхзвуковым потоком на входе в камеру смешения может соответствовать дозвуковое течение смеси газов, образующееся при прохождении смесью газов прямого скачка уплотнения, т. е. рассматривался лишь класс непрерывных функций  $\lambda_1(n)$ .

Собственно же некорректность заключалась в следующем: в системе (2.1), (2.2) сначала функция давления смеси  $p_{0m}(\lambda_1, \lambda_2, n + \delta n)$  разлагалась в ряд по  $\delta n$ :

$$p_{0m}(\lambda_1, \lambda_2, n + \delta n) = p_{0m}(n) + A(\lambda_1, \lambda_2)\delta n + O(\delta n^2),$$

а затем утверждалось, что условия экстремума функции  $p_{0m}(\lambda_1, \lambda_2, n + \delta n)$  совпадают с условиями экстремума функции  $A(\lambda_1, \lambda_2)$  с точностью порядка  $\delta n$ . В общем случае для произвольной функции такой подход неверен. Это легко заметить на примере функции  $y(x, \delta n) = (1 + x\delta n)^2$ . Поэтому в каждом конкретном случае правомерность такого подхода необходимо доказывать. Покажем, что именно вследствие такого некорректного предельного перехода было потеряно условие оптимальности каждой ступени эжектора.

Пусть на отрезке  $[0, a]$  ( $a > 1$ ) заданы две ограниченные положительные трижды непрерывно дифференцируемые функции  $f(x)$  и  $g(x)$ , причем

$$(5.1) \quad g'(1) = f'(1) = 0, \quad g''(1) \neq 0 \neq f''(1).$$

И пусть дана функция  $\varepsilon(x, y, \delta n)$ , которая определена следующей системой уравнений:

$$(5.2) \quad \varepsilon(x, y, \delta n) = \frac{1 + \delta n}{\left( \frac{1}{g(x)} + \frac{\delta n}{g(y)} \right) g(z)};$$

$$(5.3) \quad (1 + \delta n)f(z) = f(x) + \delta n f(y)$$

( $\delta n$  — малый параметр). Линии условных экстремумов определяются

На рис. 3 приведены результаты расчетов зависимости полного давления смеси газов в оптимальной системе эжекторов  $p_{0m}(n)/p_{01}$  при  $p_{02}/p_{01} = 50$ ,  $\kappa = 1.4$ . Линия 1 соответствует одноступенчатому эжектору, 2 — системе пяти эжекторов, 3 — дифференциальному эжектору.

**5. Теория дифференциального эжектора [1].** В п. 2 приведены результаты решения задачи о параметрах оптимального эжектора в общем случае

уравнениями:  $\partial\varepsilon(x, y, \delta n)/\partial x = 0$  при

$$(5.4) \quad \left( \frac{1}{g(x)} + \frac{\delta n}{g(y)} \right) \left( \frac{g'(x)}{g^2(x)} - \frac{g'(z)f'(x)}{g^2(z)f'(z)} \right) = 0$$

и  $\partial\varepsilon(x, y, \delta n)/\partial y = 0$  при

$$(5.5) \quad \left( \frac{1}{g(x)} + \frac{\delta n}{g(y)} \right) \left( \frac{g'(y)}{g^2(y)} - \frac{g'(z)f'(y)}{g^2(z)f'(z)} \right) = 0,$$

где значения  $\varepsilon(x, y, \delta n)$  и  $z$  находятся из (5.2), (5.3). Из уравнений (5.4), (5.5) вытекает, что линии  $x = 1$  и  $y = 1$  являются линиями условных экстремумов функции  $\varepsilon(x, y, \delta n)$ .

При предельном переходе  $\delta n \rightarrow 0$  непосредственно в системе (5.2), (5.3) получим

$$\delta\varepsilon(x, y) = \delta n \left[ 1 - \frac{g(x)}{g(y)} - \frac{(f(y) - f(x))}{g(x)} \frac{g'(x)}{f'(x)} \right].$$

Таким образом, чтобы на линии  $x = 1$  выполнялось условие  $\partial\delta\varepsilon(x, y)/\partial x = 0$ , необходимо, чтобы

$$(5.6) \quad (g'(x)/f'(x))' |_{x=1} = 0.$$

Из ограничений (5.1) следует, что в окрестности точки  $x = 1$  функции  $g(x)$  и  $f(x)$  разложимы в ряд

$$g(x) = g_0 + g_2(x - 1)^2 + g_3(x - 1)^3 + o((x - 1)^3), \\ f(x) = f_0 + f_2(x - 1)^2 + f_3(x - 1)^3 + o((x - 1)^3).$$

Поэтому равенство (5.6) эквивалентно

$$(5.7) \quad g_2/g_3 = f_2/f_3.$$

Только в этом случае условные экстремумы функции  $\varepsilon(x, y, \delta n)$  могут быть получены по экстремумам главного члена разложения функции  $\varepsilon(x, y, \delta n)$  по параметру  $\delta n$ . Если  $g(x) = q(\lambda)$  и  $f(x) = z(\lambda)$ , то условие (5.7) не выполняется. Поэтому при предельном переходе  $\delta n \rightarrow 0$  и произошла потеря условия (4.1) оптимальности каждой ступени дифференциального эжектора.

В заключение заметим, что в случае, когда из учета совместной работы диффузора и эжектора оптимальной является дозвуковая скорость смеси газов на выходе из эжектора  $\lambda_{1\text{opt}} < 1$ , в [1] в качестве условия оптимальности предлагается на входе в каждый элементарный эжектор обеспечивать именно такое значение приведенной скорости низконапорного газа. Это неверно. Так как диффузор располагается только после заключительной ступени, то приведенную скорость  $\lambda_{1\text{opt}}$  необходимо обеспечить только на выходе последней ступени. Поэтому достаточно сделать неоптимальным ( $\lambda_1 \neq 1$ ) процесс смешения лишь в одной или нескольких последних ступенях.

## ЛИТЕРАТУРА

1. Урюков Б. А. Теория дифференциального эжектора // ПМТФ.— 1963.— № 5.
2. Аркадов Ю. К. Газовый эжектор с соплом, перфорированным продольными щелями // Изв. АН СССР. МЖГ.— 1968.— № 2.
3. Аркадов Ю. К. Исследование газового эжектора с винтовым соплом // Пром. аэродинамика.— 1973.— Вып. 30.
4. Киселев Б. М. Расчет одноразмерных газовых течений // ПММ.— 1947.— Т. 11, № 1.

г. Жуковский

Поступила 11/XII 1989 г.,  
в окончательном варианте — 8/VI 1990 г.